

03

© 1991 г.

## СТРУКТУРА УДАРНЫХ ВОЛН В ГАЗОВОЙ СМЕСИ

A. M. Башлыков, B. Ю. Великодный

На основе решения системы кинетических уравнений Больцмана для газовых смесей методом Мотт—Смита исследуются физические процессы, происходящие в профиле плоской ударной волны в двухкомпонентной смеси одноатомных газов с существенно различающимися массами молекул. Особое внимание удалено рассмотрению структуры ударных волн для случая малой примеси тяжелого компонента и близких по величине массовых плотностей легких и тяжелых компонентов. Проведены расчеты профилей парциальных концентраций, температур, вязких напряжений и тепловых потоков. Получено, что в профиле теплового потока тяжелого компонента для целого ряда значений, характеризующих смесь и течение, имеются области, где знак теплового потока совпадает со знаком градиента температуры. Результаты расчетов для низших моментов от функции распределения сравниваются с экспериментом и различными численными и теоретическими подходами к решению данной задачи.

В работе исследуются физические процессы, происходящие в профиле плоской ударной волны в двухкомпонентной смеси одноатомных газов с существенно различающимися массами молекул. Особое внимание удалено рассмотрению структуры ударных волн для случая малых концентраций тяжелых компонентов  $n_t/n_l \ll 1$ , при соотношениях между массовыми плотностями легких и тяжелых частиц  $\rho_t/\rho_l \leq 1$ , где индексы  $l$  и  $t$  характеризуют легкие и тяжелые молекулы соответственно.

Задача сводится нами к решению системы кинетических уравнений Больцмана методом Мотт—Смита, обобщенным на случай газовых смесей [1]. При этом используется подход [2], позволяющий устранить ряд дополнительных допущений, имеющихся в [1], за исключением присущих собственно моментным методам. Применение приближенного подхода [2] к решению уравнений Больцмана в данном случае обусловлено рядом причин. Метод прямого численного моделирования Монте—Карло, на основе которого достигнут в настоящее время наиболее значительный прогресс в изучении структуры ударных волн в газовой смеси [3, 4], дает все еще значительный разброс в данных при  $(n_t/n_l \ll 1, \rho_t/\rho_l \leq 1)$ , и поэтому требует большого времени счета на ЭВМ даже при использовании варианта с весовыми множителями [5].

Решение задачи на основе уравнений переноса многотемпературной, многоскоростной газодинамики, как указывалось в [6], ограничено диапазоном сравнительно небольших чисел Маха. Непосредственно прямое численное решение системы уравнений Больцмана для газовых смесей и их интегральных представлений является сложной задачей и представлено пока малым числом работ [7, 8], в которых приведены вычисления для ограниченного ряда значений параметров смеси и потока.

При больших числах Маха ( $M > 5$ ) надежные экспериментальные данные отсутствуют даже для профилей плотности компонентов смеси. Для высших моментов от функции распределения такие данные отсутствуют и при малых числах Маха. Для выяснения же физических закономерностей поведения газовой смеси в профиле ударной волны необходимо проанализировать большое число вариантов, изменения параметры потока и смеси. Это требует накопления достаточно обширного статистического материала. Его желательно получить на основе различных подходов для большей достоверности результатов. Под-

ход, предложенный в [2], не требует длительного времени счета на ЭВМ по сравнению с [3, 4, 7], что позволило получить большой объем информации о структуре ударной волны.

Данные настоящей работы для парциальных плотностей и температур могут рассматриваться как дополнение к результатам, полученным на основе других методов, в том числе и указанных выше [3-8].

Отметим, что изучению ряда высших моментов от функций распределения в ударной волне в газовой смеси посвящено ограниченное число работ [3, 4, 7], основанных на разных подходах. В [3] проведено детальное исследование поперечных и продольных парциальных температур компонентов газовой смеси в достаточно широком диапазоне изменения отношения масс, концентраций и параметров течения. Изучение тепловых потоков и вязких напряжений, насколько известно авторам, проводилось лишь в [7, 9]. В данной работе поведение профилей тепловых потоков, вязких напряжений, а также поперечных и продольных парциальных температур будет рассмотрено более тщательно в широком диапазоне изменения параметров смеси и потока.

Система кинетических уравнений Больцмана для газовых смесей, описывающая пространственную эволюцию парциальных функций распределения  $f_i(X, v^i)$  (стационарный одномерный случай), имеет вид [10]

$$v_x^i \frac{\partial f_i}{\partial X} = \sum_j \iiint \dots (f_i f'_j - f_i f_j) |g_{ji}| \sigma(|g_{ji}|, \chi) d^2 \Omega d^3 v_j, \quad (1)$$

где  $v^i$  — молекулярная скорость,  $\sigma(|g_{ji}|, \chi)$  — дифференциальное сечение рассеяния,  $\Omega$  — телесный угол,  $X$  — пространственная переменная.

Решение (1), описывающее структуру ударных волн в газовой смеси, удается найти в общем случае только численно. Известны приближенные аналитические решения (1) для случая исчезающей малой примеси одного из компонентов [11].

Как уже указывалось выше, в данной работе система уравнений (1) решается методом Мотт—Смита, обобщенным на газовые смеси [1]. Искомые функции распределения ищутся в виде

$$f_i = n_s^i \left( \frac{m_i}{2\pi k T_s^i} \right)^{3/2} \exp \left\{ - \frac{m_i (v^i - u_s^i)^2}{2k T_s^i} \right\} + n_t^i \left( \frac{m_i}{2\pi k T_t^i} \right)^{3/2} \exp \left\{ - \frac{m_i (v^i - u_t^i)^2}{2k T_t^i} \right\}. \quad (2)$$

При этом налагаются следующие граничные условия (если мы начинаем интегрирование (1) с  $-\infty$ ):

$$\begin{aligned} n_s^i(-\infty) &= n_1^i, & n_s^i(+\infty) &= 0, & T_s^i(-\infty) &= T_1, \\ n_t^i(-\infty) &= 0, & n_t^i(+\infty) &= n_2^i, & u_t^i(-\infty) &= u_1 \end{aligned} \quad (3)$$

и дополнительные условия  $T_t^i(X) = T_2$ ,  $u_t^i(X) = u_2$ . При интегрировании (1) с  $(+\infty)$  имеем

$$\begin{aligned} n_s^i(-\infty) &= n_1^i, & n_s^i(+\infty) &= 0, & T_s^i(+\infty) &= T_2, \\ n_t^i(-\infty) &= 0, & n_t^i(+\infty) &= n_2^i, & u_t^i(+\infty) &= u_2 \end{aligned} \quad (4)$$

и  $u_s^i(X) = u_1$ ,  $T_s^i(X) = T_1$ , где  $n_1^i$ ,  $n_2^i$  — парциальные концентрации;  $u_1$ ,  $u_2$  — скорости;  $T_1$ ,  $T_2$  — температуры в равновесии на  $-\infty$  и  $+\infty$  соответственно.

Их связь определяется из соотношений Рэнкина—Гюгонио

$$\frac{T_2}{T_1} = \frac{(5M_1^2 - 1)(M_1^2 + 3)}{16M_1^2}, \quad \frac{u_1}{u_2} = \frac{4M_1^2}{M_1^2 + 3}, \quad M_1^2 = \frac{3}{5} \frac{u_1^2}{kT_1} \frac{p_1^i + p_2^i}{n_1^i + n_2^i}, \quad (5)$$

где  $M_1$  — число Маха для газовой смеси в набегающем потоке.

Верхние индексы в (2)–(5) обозначают сорт молекул. Несколько различные граничные и дополнительные условия (3), (4) обусловлены тем, что на  $+\infty$  и  $-\infty$  в уравнениях переноса для величин, входящих в (1), имеются особенности. Так как заранее неизвестен тип особенностей, то приходится анализировать решение в окрестности как  $+\infty$  и  $-\infty$ . Затем уже начинать численное интегрирование. Более подробно этот вопрос рассмотрен в [1]. Следует отметить

и существенную разницу результатов данной работы от [1] и ряда других работ, использующих метод Мотт—Смита. В [1] полагалось  $u_s^i = u_\tau^j$ ,  $T_s^i = T_\tau^j$  в (2), (3) и  $u_\tau^i = u_s^j$ ,  $T_\tau^i = T_s^j$  в (2), (4), что приводило к несоответствию числа уравнений, согласно замыкающим моментам, количеству неизвестных. Авторы [1] обходили этот вопрос, оставляя суммарные уравнения неразрывности, импульса, энергии и замыкающие для моментов  $v_X^{i2}$  и  $v_X^{i2} + v_X^{j2}$ , а два для моментов  $v_X^i$  и  $v_X^{j2}$  считались выполненными автоматически. Поэтому в конечном счете задача упрощалась и сводилась к решению двух дифференциальных уравнений с особыми точками на границах. При этом, конечно, кроме допущений относительно замыкающих моментов, присущих всем моментным методам, появляется произвол в выборе уравнений.

В данной работе, следуя [2], решение задачи ищется в общем виде (2)–(4). Подставляя (2) в (1) и умножая (1) на соответствующие моменты с последующим интегрированием по всему пространству скоростей, получаем систему уравнений для определения величин, входящих в функцию распределения (2),

$$\frac{d}{dX} \{n_s^i u_s^i + n_\tau^i u_\tau^i\} = 0, \quad (6)$$

$$\frac{d}{dX} \{p_s^i u_s^{i2} + p_\tau^i u_\tau^{i2} + n_s^i k T_s^i + n_\tau^i k T_\tau^i\} = \sum_{p, r} m_{ij} n_p^i n_r^j \Omega_{pr}^{(1, 1)ij} \xi_{pr}^{ij} (u_r^j - u_p^i), \quad (7)$$

$$\begin{aligned} & \frac{d}{dX} \{p_s^i u_s^{i3} + p_\tau^i u_\tau^{i3} + 5k(n_s^i u_s^i T_s^i + n_\tau^i u_\tau^i T_\tau^i)\} = \\ & = 2m_{ij} \sum_{p, r} n_p^i n_r^j \left[ \frac{3k(T_r^j - T_p^i)}{m_i + m_j} \xi_{pr}^{ij} + (u_r^j - u_p^i) (u_p^i \beta_{rp}^{ij} + u_r^j \beta_{pr}^{ij}) \xi_{pr}^{ij} \right] \Omega_{pr}^{(1, 1)ij}, \end{aligned} \quad (8)$$

$$\begin{aligned} & \frac{d}{dX} \{2n_s^i u_s^i k T_s^i + 2n_\tau^i u_\tau^i k T_\tau^i\} = m_{ii} (u_s^i - u_\tau^i)^2 \xi_{11pr}^{ii} n_s^i n_\tau^i \Omega_{pr}^{(1, 1)ii} + \\ & + \sum_{p, r} 2m_{ij} n_p^i n_r^j \Omega_{pr}^{(1, 1)ij} \left[ \frac{\mu_{ji}}{2} \xi_{11pr}^{ij} (u_p^i - u_r^j)^2 - \frac{4k(T_p^i - T_r^j)}{m_i + m_j} \xi_{22pr}^{ij} \right], \end{aligned} \quad (9)$$

где индексы  $p$  и  $r$  пробегают значения  $s$  и  $\tau$ ,  $m_i$  — масса компонента сорта  $i$ ,  $m_{ij} = (m_i m_j) / (m_i + m_j)$ ,

$$\beta_{rp}^{ij} = \frac{V_{jr}^2}{V_{jr}^2 + V_{ip}^2}, \quad V_{jr}^2 = \frac{2kT_r^j}{m_j}, \quad \mu_{ji} = \frac{m_j}{m_i + m_j}$$

$k$  — константа Больцмана.

Выражения для функций  $\xi_{pr}^{ij}$ ,  $\xi_{22pr}^{ij}$ ,  $\xi_{11pr}^{ij}$ ,  $\xi_{11pr}^{ij}$  для произвольных межмолекулярных потенциалов взаимодействия представляются в виде рядов [12]. Для потенциалов взаимодействия молекул  $\varphi \sim 1/r^n$  возможны представления их в виде специальных функций, на чем остановимся подробнее ниже. Согласно (3), при интегрировании системы уравнений переноса (6)–(9) для величин, входящих в (2), от  $x = -\infty$   $u_s^i = u_2$ ,  $T_s^i = T_2$ . В результате имеем для бинарной смеси замкнутую систему восьми уравнений для восьми неизвестных  $n_s^i$ ,  $n_\tau^i$ ,  $u_s^i$ ,  $T_s^i$ ,  $n_s^j$ ,  $n_\tau^j$ ,  $u_\tau^j$ ,  $T_\tau^j$ . Аналогичную систему уравнений имеем при интегрировании с  $+\infty$ . При этом используем (4). В конечном итоге задача сводится к решению четырех нелинейных дифференциальных уравнений с особыми точками на границах. Для того чтобы иметь возможность применить численные методы для решения этой задачи, необходимо линеаризировать систему уравнений (6)–(9) в окрестности особых точек, а затем найти собственные значения и собственные векторы линейной системы. Если собственные значения не нулевые, что проверялось численно в широком диапазоне изменения параметров смеси и потока, то линейная задача аппроксимирует нелинейную в окрестности особой точки [13]. В результате мы имеем аналитическое решение в окрестности особой точки и, следовательно, можем стартовать из нее, а затем уже применить для интегрирования нелинейной системы метод Рунге—Кутта. Определенные трудности представляет вычисление функций  $\xi_{pr}^{ij}$ ,  $\xi_{22pr}^{ij}$ ,  $\xi_{11pr}^{ij}$ ,  $\xi_{11pr}^{ij}$  даже для сте-

пенного потенциала взаимодействия молекул  $\phi \sim 1/r^v$ . В этом случае имеем следующую связь для них:

$$\xi_2 = \frac{1}{2} \xi, \quad u^2 \xi_3 = \frac{3}{2} (\xi_1 - \xi), \quad \xi_{11} = \frac{A_2(v)}{A_1(v)} \xi_3, \quad (10)$$

где  $u^2 = (u_p^i - u_r^j)^2 / (V_{ip}^2 + V_{jr}^2)$ , значения величин  $A_2(v)$  и  $A_1(v)$  приведены в [10, с. 251].

Таким образом, нам необходимо знать только  $\xi_1$  и  $\xi$ . Эти функции могут быть представлены в виде

$$\xi_1 = \frac{\exp(-u^2)}{\Gamma(3 - \frac{2}{v})} \int_0^\infty \frac{(\sqrt{t})^{3 - \frac{4}{v}} \exp(-t)}{2u} \operatorname{sh}(2u\sqrt{t}) dt, \quad (11)$$

$$\xi = \frac{3}{2} \frac{\exp(-u^2)}{\Gamma(3 - \frac{2}{v})} \int_0^\infty \frac{t^{1 - \frac{2}{v}} \exp(-t)}{2u^2} \left\{ \operatorname{ch}(2u\sqrt{t}) - \frac{\operatorname{sh}(2u\sqrt{t})}{2u\sqrt{t}} \right\} dt, \quad (12)$$

где  $\Gamma(X)$  — гамма-функция.

Оба интеграла вычисляются, а результаты представляются через функции параболического цилиндра, которые в свою очередь выражаются через вырожденные гипергеометрические функции [14]. Таблицы этих функций представлены в [15]. Для межмолекулярного потенциала  $v=8$ ,  $\xi_1$  и  $\xi$  представляются через бесселевы функции от мнимого аргумента первого рода  $I_v(X)$

$$\xi_1 = \frac{\pi}{4} u^{1/2} \frac{\exp\left(-\frac{u^2}{2}\right)}{\Gamma\left(\frac{11}{4}\right)} \left\{ \left( \frac{5}{8u} + \frac{u}{2} \right) I_{1/4}\left(\frac{u^2}{2}\right) + (u^3 + 2u) \left[ I_{1/4}\left(\frac{u^2}{2}\right) + I_{-3/4}\left(\frac{u^2}{2}\right) \right] \right\}, \quad (13)$$

$$\xi = \frac{3\pi}{8} u^{1/2} \frac{\exp\left(-\frac{u^2}{2}\right)}{\Gamma\left(\frac{11}{4}\right)} \left\{ \left( u + \frac{1}{4u} \right) \left[ I_{1/4}\left(\frac{u^2}{2}\right) + I_{-3/4}\left(\frac{u^2}{2}\right) \right] + \frac{1}{2} \left( \frac{1}{u} - \frac{1}{2u^3} \right) I_{1/4}\left(\frac{u^2}{2}\right) \right\}. \quad (14)$$

Наиболее простым образом функции  $\xi_1$  и  $\xi$  выражаются для максвелловского потенциала взаимодействия молекул  $v=4$

$$\xi = 1, \quad \xi_1 = 1 + \frac{2}{3} u^2. \quad (15)$$

Для потенциала взаимодействия «твёрдые сферы»  $\xi$  и  $\xi_1$  выражаются через интегралы вероятностей [16]. Для моделей потенциалов взаимодействия молекул — Ленарда—Джонса и (6 — exp) — модифицированного потенциала Бингема [10] в первых нескольких членах рядов  $\xi_1$ ,  $\xi$ ,  $\xi_2$ ,  $\xi_{11}$  [12] берутся табличные значения  $\Omega_{pr}^{(l, p)ij}$  [10]. Для получения остальных членов ряда используем предположение

$$\Omega_{pr}^{(l, n)ij} = \frac{\Gamma(n + 3 - \frac{2}{v})}{\Gamma(3 - \frac{2}{v})} \Omega_{pr}^{(l, 1)ij},$$

где  $n=12$  и  $v=\infty$  соответственно.

Переменные, входящие в функцию распределения (2), сами по себе особого физического смысла не имеют. Представляют интерес моменты от функций распределения

$$n^i = n_s^i + n_\tau^i, \quad (16)$$

$$u^i = \frac{u_s^i n_s^i + u_\tau^i n_\tau^i}{n^i}, \quad (17)$$

$$T_{\perp}^i = \frac{1}{3} \frac{T_{\perp}^i n_s^i + T_{\parallel}^i n_{\parallel}^i}{n^i}, \quad T_{\parallel}^i = 3T^i - 2T_{\perp}^i, \quad (18)$$

$$\sigma_{\parallel}^i = -\frac{2}{3} (\rho_s^i W_s^{i2} + \rho_{\tau}^i W_{\tau}^{i2}), \quad \sigma_{\perp}^i = -\frac{1}{2} \sigma_{\parallel}^i, \quad (19)$$

$$T^i = \frac{T_{\perp}^i n_s^i + T_{\parallel}^i n_{\parallel}^i}{n^i} + \frac{\rho_s^i W_s^{i2} + \rho_{\tau}^i W_{\tau}^{i2}}{3kn^i}, \quad (20)$$

$$q_x^i = \frac{5}{2} T_s^i n_s^i k W_s^i + \frac{5}{2} T_{\tau}^i n_{\tau}^i k W_{\tau}^i + \frac{\rho_s^i W_s^{i3}}{3} + \frac{\rho_{\tau}^i W_{\tau}^{i3}}{3}, \quad (21)$$

где  $n^i$ ,  $u^i$ ,  $T^i$  — парциальные концентрация, скорость и температура соответственно;  $T_{\perp}^i$  и  $T_{\parallel}^i$  — парциальные поперечная и продольная температуры;  $\sigma_{\perp}^i$  и  $\sigma_{\parallel}^i$  — парциальные тензоры поперечных и продольных напряжений;  $q_x^i$  — парциальный тепловой поток.

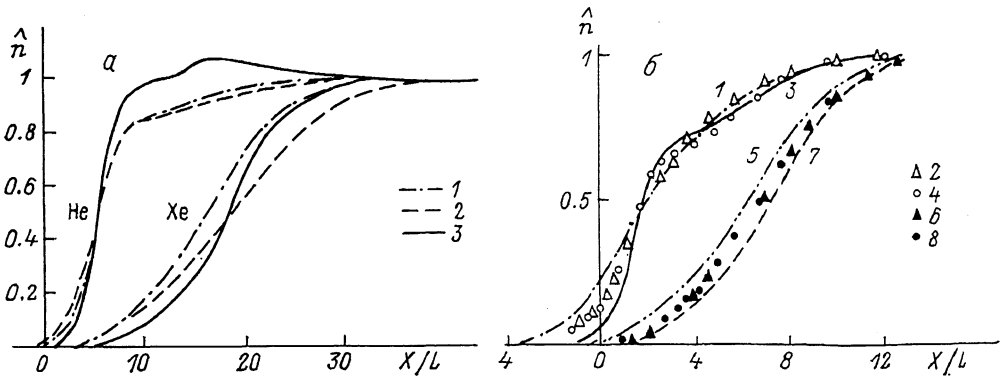


Рис. 1.

а — изменение парциальных концентраций компонентов смеси He (1.5 %), Xe (98.5 %) по профилю ударной волны при числе Маха  $M_0=3.61$ , эффективных диаметрах  $d_{\text{Xe}}=4.05 \text{ \AA}$ ,  $d_{\text{He}}=2.56 \text{ \AA}$  [10] и моделях потенциала межмолекулярного взаимодействия  $\phi \sim 1/r^v$  ( $v=8.14$ ): 1 —  $v=14$ , 2 — 8 (данная работа), 3 — эксперимент [18]; б — изменение парциальных концентраций компонентов смеси He (3 %), Xe (97 %) по профилю ударной волны при числе Маха  $M=3.89$ , отношении диаметров частиц  $d_{\text{Xe}}/d_{\text{He}}=0.448$  [4] и модели потенциала взаимодействия твердые сферы  $v=\infty$ : He: 1 — данная работа, 2 — [4], 3 — [8], 4 — [18]; Xe: 5 — данная работа, 6 — [4], 7 — [8], 8 — [18].

Значения величин  $T^i$ ,  $T_{\perp}^i$ ,  $T_{\parallel}^i$ ,  $\sigma_{\parallel}^i$ ,  $q_x^i$  зависят от выбора системы координат [16], так как от этого зависят значения величин диффузионных скоростей

$$W_s^i = u_s^i - U. \quad (22)$$

Если выбирать системы координат для определения величин (18)–(21) относительно собственного движения каждого компонента в отдельности, как это было сделано в [8], то в (22)  $U=u^i$ . Однако при этом возникают «нефизические» области при сравнении профилей парциальных и средней температур, так как последняя вычисляется в системе отсчета относительно движения системы в целом [9]. Исследования, проведенные в [9], показали, что в системах отсчета относительно средней или среднемассовой скоростей для всей смеси в целом этот недостаток устраняется. Если это не оговорено специально, то будем использовать систему координат относительно среднемассовой скорости. Для удобства представления результатов расчетов моменты от функций распределения будем представлять в безразмерном виде

$$\hat{V}^i = \frac{u^i - u_2}{u_1 - u_2}, \quad \hat{T}^i = \frac{T^i - T_1}{T_2 - T_1}, \quad \hat{n}^i = \frac{n^i - n_1^i}{n_2^i - n_1^i},$$

$$\hat{\sigma}_{\parallel}^i = \frac{\sigma_{\parallel}^i}{n_1 k T_1}, \quad \hat{q}_x = \frac{q_x^i}{n_1 k T_1 u_1}, \quad \hat{n} = \frac{n - n_1}{n_2 - n_1},$$

где  $n=n^i+n^j$ .

На рис. 1, а представлены результаты расчета профилей парциальных концентраций газовой смеси He (98.5 %), Xe (1.5 %) при числе  $M=3.61$ . Межмо-

лекулярное взаимодействие моделируется степенным потенциалом отталкивания с показателями  $\nu=8$  и  $14$ . Данные для эффективных диаметров молекул  $d_{ij}$  взяты из [10]. Здесь и далее координата профиля ударной волны обозначается на длину свободного пробега на  $-\infty$

$$L_{ij}^1 = \frac{1}{\pi \left( n_i d_{ii}^2 \sqrt{2} \Omega_{ii}^{*(2,2)} + n_j d_{ij}^2 \sqrt{\frac{m_i + m_j}{m_j}} \Omega_{ij}^{*(2,2)} \right)},$$

$$L_1 = \frac{L_{ij}^1 n_i + L_{ij}^1 n_j}{n_i + n_j}, \quad (23)$$

где  $\Omega_{ij}^{*(2,2)}$  — безразмерная величина интеграла Чепмена—Каулинга [10].

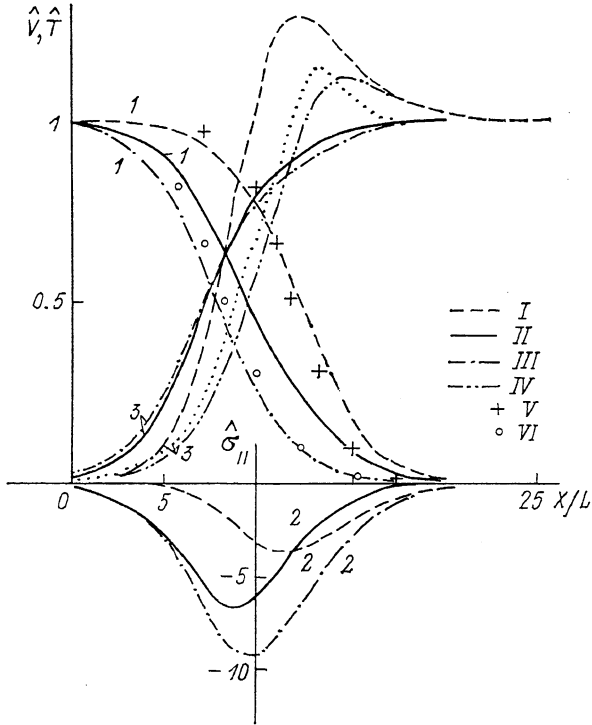


Рис. 2. Изменение парциальных и средней скорости, продольной компоненты тензоров напряжений, парциальных и средней температур в системах координат относительно среднемассовой  $U_0$  и парциальных скоростей  $u^i$  смеси He (90 %), Ar (10 %) для модели потенциала взаимодействия  $\varphi \sim 1/r^\nu$ , ( $\nu=8$ ), эффективных диаметров молекул  $d_{\text{He}}=2.19 \text{ \AA}$ ,  $d_{\text{Ar}}=3.66 \text{ \AA}$  [8] при числе Maxa  $M=8$ .

1 —  $\hat{V}$ , 2 —  $\hat{\sigma}_{\parallel}$ , 3 —  $\hat{T}$ ;  $\hat{V}$ : I — Ar, II — смесь, III — He, V — Ar [8], VI — He [8];  $\hat{\sigma}_{\parallel}$  ( $U_0$ ): III — He, II — смесь, I — Ar;  $\hat{T}$  ( $U_0$ ): III — He, II — смесь, I — Ar;  $\hat{T}$  ( $u^i$ ): IV — Ar, VI — Ar [8].

Формула (23) для модели взаимодействия «твёрдые сферы» переходит в результат [17]. Проведено сравнение результатов расчета с экспериментом [18]. В эксперименте [18] наблюдается максимум в профиле концентрации легкого компонента по величине, превышающий равновесное значение концентрации на  $+\infty$ . С увеличением концентрации He в He этот максимум уменьшается. Однако расчеты данной работы, основанные на [1, 2], и расчеты [4, 6, 19, 20], основанные на других подходах, таких максимумов для смеси He—He не дают. Авторы [18] также отмечают, что окончательный ответ о существовании этого максимума дать трудно, так как точность результатов измерений в «хвосте» волны падает.

В [21] по усовершенствованной методике проведены измерения профилей парциальных концентраций для смеси He—He в том же диапазоне изменения параметров, что и в [18]. Максимумов, аналогичных [18], в работе [21] не обна-

ружено. В теоретических [6, 19] и экспериментальных [18, 21] исследованиях получено, что профиль легкого компонента для смеси He—Хе при  $Q_t/\rho_t \sim 1$ ,  $n_t/n_l \ll 1$ ,  $M=3-5$  имеет «горб» (рис. 1, а, б). «Горб» является переходной областью либо между зоной резкого изменения плотности и достаточно протяженной зоной релаксации, либо между двумя зонами резкого изменения плотности. Наиболее отчетливо заметен «горб» для модели потенциала взаимодействия — «максвелловских молекул». На рис. 1, б представлены результаты расчетов профилей парциальных плотностей на основе различных подходов [2, 4, 6, 19] для смеси Хе (3 %), He (97 %) при числе Maxa  $M=3.89$  и модельном потенциале межмолекулярного взаимодействия «твёрдые сферы».

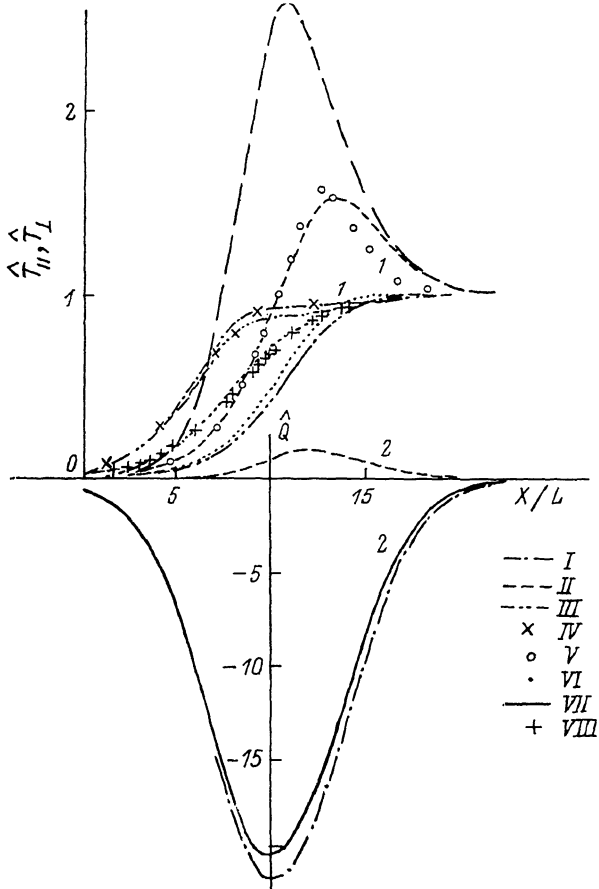


Рис. 3. Изменение парциальных продольных и поперечных температур в системах координат, связанных с парциальными  $u^i$  и среднемассовой  $U_0$  скоростями, и соответствующих тепловых потоков в профиле ударной волны смеси He — 90 %, Ar — 10 % для модели потенциала взаимодействия  $\varphi \sim 1/r^3$  ( $\nu = 8$ ), эффективных диаметров молекул  $d_{\text{He}} = 2.19 \text{ \AA}$ ,  $d_{\text{Ar}} = 3.66 \text{ \AA}$  [8], числе Maxa  $M = 8$ .

$\hat{T}_\parallel(U_0)$ : I — He, II — Ar;  $\hat{T}_\parallel(u^i)$ : III — He, IV — He [8], II — Ar, V — Ar [8];  $\hat{T}_\perp(u^i)$ : III — He, VII — He [8], II — Ar, VI — Ar [8];  $\hat{\varphi}(U_0)$ : II — Ar, VII — смесь, II — He; 1 —  $\hat{T}_\parallel$ ,  $\hat{T}_\perp$ ; 2 —  $\hat{\varphi}$ .

На рис. 2, 3 представлены результаты расчета профилей моментов от парциальных функций распределения для смеси He (90 %), Ar (10 %). Число Maxa  $M=8$ , взаимодействие молекул моделируется потенциалом  $\varphi \sim 1/r^8$ , что соответствует  $\mu \sim T^{0.75}$ , где  $\mu$  — вязкость смеси. Данные для других параметров, характеризующих смесь, взяты из [10]. Расчеты для  $u^i$ ,  $T^i$ ,  $\hat{T}^i$ ,  $\hat{T}_\perp^i$  сравниваются с результатами, полученными методом Монте—Карло [8].

На рис. 2 представлены изменения в ударной волне парциальных скоростей и температур, а также их средних значений. Для того чтобы иметь возможность провести сравнение с результатами [8], парциальные температуры вычисляются

в системах координат, связанных с собственными парциальными скоростями компонентов. Кроме того, на рис. 2 представлены данные для парциальных температур в системе координат, связанной со среднемассовой скоростью. В этой же системе координат приведена средняя температура смеси. Как уже указывалось выше, и это видно из рис. 2, расчет температур в системе координат, связанной со среднемассовой скоростью  $U_0$ , позволяет устраниć «нефизичную» область при сравнении парциальных и средней температур. На рис. 2

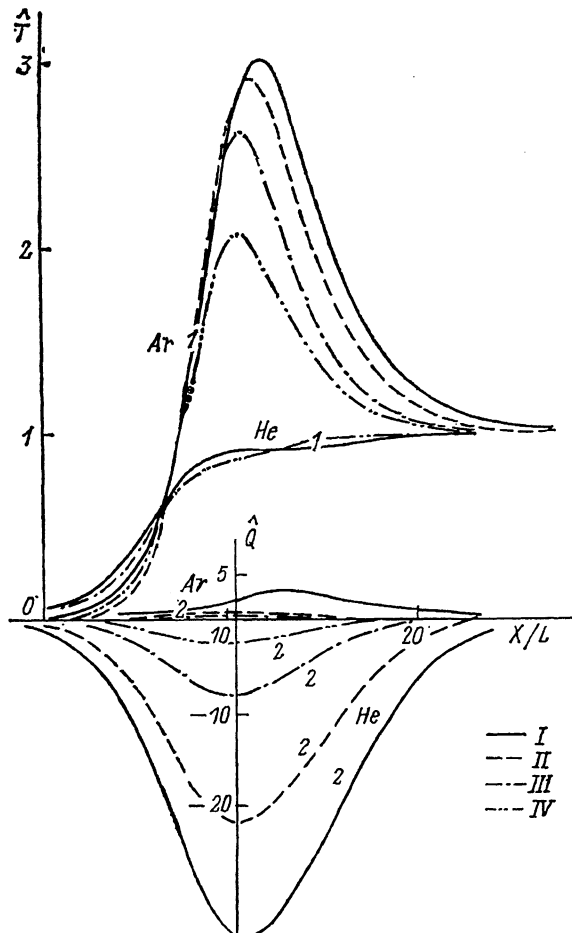


Рис. 4. Изменение парциальных температур и соответствующих им парциальных тепловых потоков по профилю ударной волны в смеси Не 90 %, Ар — 10 % для модели потенциала межмолекулярного взаимодействия  $\varphi \sim 1/r^\nu$  ( $\nu = 8$ ), эффективных диаметрах  $d_{\text{Ar}} = 3.48 \text{ \AA}$ ,  $d_{\text{He}} = 2.56 \text{ \AA}$  [10].

1 —  $\bar{T}$ , 2 —  $\bar{Q}$ ;  $M = 10$  (I), 8 (II), 5 (III), 3 (IV).

приведены профили продольных составляющих тензоров напряжений  $\sigma_{ii}$  каждого компонента и всей смеси в целом  $\sigma_{ii}$ . Значения тензоров вязких напряжений вычисляются в системе координат, связанной со среднемассовой скоростью. Профиль температуры тяжелого компонента, как следует из рис. 2, имеет четко выраженный максимум. Величина этого максимума превышает значение температуры в равновесии на  $+\infty$ . Этот результат получен в ряде теоретических работ [3, 6, 8]. Тем не менее прямых, достаточно надежных экспериментальных доказательств этого эффекта пока не получено. Следует отметить, что такой максимум в профиле температуры тяжелого компонента наблюдается и в системе координат, выбранной относительно средней скорости  $U_{cp} = (u^i n^i + u^j n^j) / (n^i + n^j)$ .

На рис. 3 представлены профили продольных и поперечных парциальных температур в системах координат, связанных с парциальными скоростями компонентов и со среднемассовой скоростью. Проводится сравнение с результатами [3]. Продольная температура тяжелого компонента имеет четко выраженный максимум, превышающий ее величину в равновесии на  $+\infty$  независимо от выбора системы координат. Продольная температура легкого компонента и всей смеси в целом такого максимума не имеет. Профили поперечных парциальных и средней температур изменяются монотонно. Этот результат совпадает с [3]. На этом же рисунке приведены данные для парциальных и среднего теп-

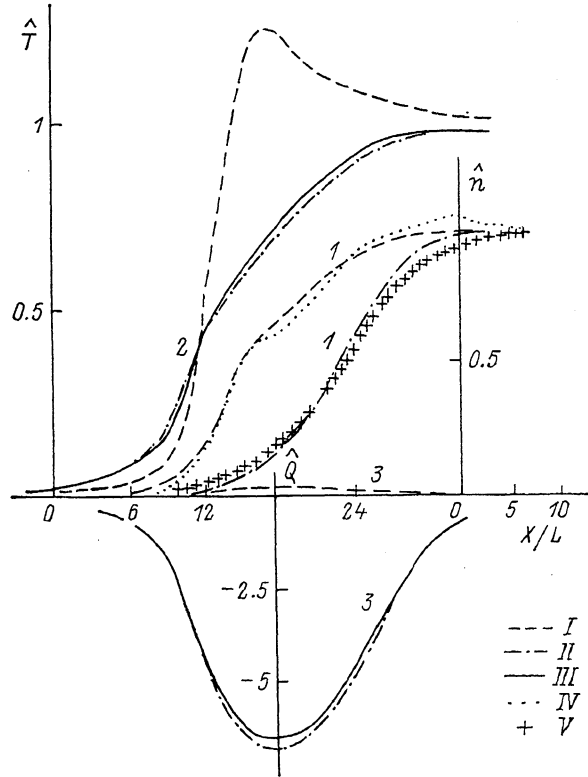


Рис. 5. Изменение парциальных концентраций  $\hat{n}$ , парциальных и средней температур  $T$  и парциальных и средних тепловых потоков  $\hat{Q}$  по профилю ударной волны в смеси He 94 %, Xe 6 % при числе Maxa  $M=4,4$ , эффективных диаметрах  $d_{\text{Xe}}=4.05 \text{ \AA}$ ,  $d_{\text{He}}=2.56 \text{ \AA}$  [10] и модели потенциала межмолекулярного взаимодействия  $\varphi \sim 1/r^\nu$  ( $\nu=14$ ).  
 I — Xe, II — He, III — смесь (данная работа), IV — He, V — Xe (экспериментальные данные для концентраций [18]); 1 —  $\hat{n}$ , 2 —  $\hat{T}$ , 3 —  $\hat{Q}$ .

ловых потоков в системе координат, связанной со среднемассовой скоростью. Из рис. 2, 3 следует, что тепловой поток тяжелого компонента до точки, соответствующей максимуму в профиле температуры тяжелого компонента, имеет знак, совпадающий со знаком градиента температуры. Впервые такое «аномальное» поведение теплового потока тяжелого компонента было отмечено в [9]. Расчеты, проделанные авторами в системах координат, связанных с парциальными и средней скоростями, также показали наличие областей в профилях ударных волн, где знак теплового потока совпадает со знаком при градиентах температуры. Изменение выбора системы координат приводит лишь к изменению местоположения этой «аномалии» (до максимума температуры тяжелого компонента или после него). На рис. 4 представлены профили парциальных температур, а также парциальные и средние тепловые потоки в системах координат, связанных со среднемассовыми скоростями. Смесь состоит из He (90 %) и Ar — (10 %). Числа Maxa  $M=3, 5, 8, 10$ . Межмолекулярное взаимо-

действие моделируется потенциалом отталкивания  $\varphi \sim 1/r^8$ . Данные, характеризующие смесь, взяты из [10]. Из рис. 4 видно, что высота максимума в профиле температуры тяжелого компонента возрастает с увеличением числа Маха. Это согласуется с выводами [8]. Толщина фронта ударной волны также увеличивается. На рис. 5 представлены результаты расчета профилей концентраций, парциальных и средней температур, парциального и среднего тепловых потоков для смеси He (94 %), Xe (6 %). Межмолекулярное взаимодействие моделируется потенциалом  $\varphi \sim 1/r^{14}$ . Число Маха  $M=4.4$ . Остальные данные, характеризующие смесь, взяты из [18]. Так же как и для случая смеси Xe—He при  $M=3.61$ , упомянутого выше, максимума в профиле концентрации легкого компонента численные расчеты не дают. Из рис. 1, 5 видно, что во фронте ударной волны имеется сильное разделение легкого и тяжелого компонентов. Результаты расчета для парциальных концентраций сравниваются с экспериментальными данными [18].

В работе приведены исследования структуры ударных волн в бинарной смеси одноатомных газов для ( $n_t/n_l \ll 1$ ,  $\rho_t/\rho_l \leqslant 1$ ). Такие газовые смеси характеризуются существенным разделением компонентов. Исследовано поведение высших моментов от парциальных функций распределения. Сравнение с результатами метода численного моделирования Монте—Карло и экспериментом показывает, что использование авторами методики дает достаточно удовлетворительные результаты. Данный подход может быть полезен на предварительном этапе исследований для выявления физических закономерностей поведения смеси в ударной волне. Он не требует длительного времени счета на ЭВМ и позволяет проанализировать значительное число вариантов.

### Список литературы

- [1] Oberai M. M., Sinha U. N. // Rarefied Gas Dynamics. Göttingen: Povz-Wahn, 1874. Vol. B25/1—B25/10.
- [2] Башлыков А. М., Великодный В. Ю. // Прикладные задачи механики сплошной среды и геокосмической физики. М.: МФТИ, 1988. С. 12—15.
- [3] Bird G. A. // Rarefied Gas Dynamics. Tokyo, 1984. Vol. 1. P. 175—182.
- [4] Куликов С. В., Соловьев М. Е. // ЖВМиМФ. 1988. Т. 28. № 12. С. 1867—1874.
- [5] Черемисин А. В. Автореф. докт. дис. М., 1988. 30 с.
- [6] Руев Г. А., Фомин В. М., Шавалиев М. Ш. // Численные и аналитические методы в динамике разреженных газов. М., 1985. С. 12—17.
- [7] Mausbach P., Beylich A. E. // Rarefied Gas Dynamics. New York; London: Plenum Press, 1985. Vol. 1. P. 285—292.
- [8] Христинич В. Б. // Проблемы динамических процессов в гетерогенных средах (Механика). Калинин, 1987. Т. 2. С. 31—40.
- [9] Башлыков А. М., Великодный В. Ю. // Письма в ЖТФ. 1989. Т. 15. Вып. 5. С. 24—28.
- [10] Ферцигер Дж., Канер Г. Математическая теория процессов переноса в газах. М.: Мир, 1976. 554 с.
- [11] Oberai M. M. // Phys. Fluids. 1966. Vol. 9. N 9. P. 1634—1637.
- [12] Великодный В. Ю. // Гидродинамические проблемы технологических процессов. М.: Наука, 1988. С. 171—176.
- [13] Ланкастер Дж. Теория матриц. М.: Наука, 1978. 280 с.
- [14] Прудников А. П., Брычков Ю. А., Маричев О. И. Интегралы и ряды. М.: Наука, 1981. Т. 1. 800 с.
- [15] Абрамович М., Стиган И. Справочник по специальным функциям. М.: Наука, 1979. 830 с.
- [16] Burgers J. M. Flow Equations for Composite Gases. New York: Academic Press, 1969. 332 p.
- [17] Берд Г. Молекулярная газовая динамика. М.: Мир, 1981. 319 с.
- [18] Gmuresyk A. S., Tarczynski M., Walenta Z. A. // Rarefied Gas Dynamics. Paris: Commissariat A L'Energie Atomique, 1979. Vol. 1. P. 331—341.
- [19] Schmidt B., Seiler F., Worner M. // J. Fluid Mech. 1984. Vol. 143. P. 305—326.
- [20] Platkowski T. // Rarefied Gas Dynamics. Paris: Commissariat A L'Energie Atomique, 1979. Vol. 1. P. 323—331.
- [21] Herczynski R., Tarczynski M., Walenta Z. // Proc. of the 15<sup>th</sup> Int. Symp. on Shock Waves and Shock Tubes. Stanford Univ. Press, 1986. P. 713—719.

Поступило в Редакцию  
1 ноября 1989 г.  
В окончательной редакции  
13 февраля 1991 г.